

GPU を用いた球面 SOM の実アプリケーションによる評価

西本 要, 吉見 真聡

1 はじめに

1989 年に Kohonen が発表した自己組織化マップ (Self-Organizing Map: SOM) は, 教師なしの学習型ニューラルネットワークである. SOM は, n 次元のデータベクトルであるニューロンが正方格子状や六角格子状に配置されたマップに対して, 対象となる入力データを学習させて可視化する手法である.

SOM は高次元のデータベクトルを低次元に落とし込む手法であり, 医学, 農学, 社会科学など, 様々な分野で利用されている有用なデータマイニングツールである¹⁾. しかし最も基礎的な SOM では, 学習の不均一さが大きな問題として知られている. これは, ニューロンを平面上に配置する関係上, マップの端付近とそれ以外の部分では隣接ニューロンの数が異なり, Fig. 1 に示すように学習エリアの大きさに差が出るのが原因である. この問題を解決する手法として, Kohonen によるヒューリスティックな重み付けや局所線形平滑化が提案されている. また, 数学的手法以外にも, SOM のデータ構造をトーラスや球面などの閉じた曲面にする手法も提案されている. トーラスは実装が容易であるが, 3D 空間ではドーナツ型をとってしまい可視化ツールとしては不向きである. また, ニューロンを球の表面上に配置する球面 SOM は, Ritter が提案した正多面体をもとにした測地ドームと呼ばれる準正多面体を用いたものが多く使用されている⁸⁾. 測地ドームは球面状にほぼ均一にニューロンを配置することができる. しかし, 平面の SOM と比べて実装が複雑となり, 高速化が困難である.

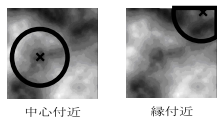


Fig.1 位置による学習範囲の違い

SOM は入力データごとに全ての重みベクトルに対して演算を行う必要があり, 演算回数が莫大になる一方で高いループレベル並列性を持っており, 様々な高速化手法が試みられてきた. 従来の平面 SOM は, SIMD プロセッサやストリックアレイ構造の計算機による実装が試みられ^{2) 3)}, 2000 年頃からは大規模システムの運用コストの問題に対処するため, FPGA を用いた専用ハードウェアによる実装例も報告されている. また, 近年では GPU を用いた実装についても報告されている⁶⁾.

本研究報告では, 測地ドームを正 20 面体の展開図と見立て, 2 次元平面のデータとして扱うことで球面 SOM

において SOM の持つ並列性の高さを残した実装を可能とした. 以上の内容により, GPU における実装と評価を行った.

2 SOM のアルゴリズム

2.1 SOM のアルゴリズムの概要

SOM は, 多量のデータの特徴量を抽出する目的で利用されるニューラルネットワークの一種である.

基本的な SOM では, 競合層と呼ばれるニューロンが配置された空間が, 順に入力される入力データを学習していく. 入力ベクトル $x = \{x_1, \dots, x_v\}$ は, v 次元の数ベクトルである. 各ニューロン i には, 入力ベクトルと同じ v 次元の重みベクトル $m_i = \{m_{i1}, \dots, m_{iv}\}$ が設定される. また, 学習の効果と範囲を示す近傍距離 N_c および, 近傍関数 h , 学習率係数 $\alpha(t)$ が設定される. 全入力データの学習が T 回繰り返された後, 競合層に学習結果が形成される.

2.2 SOM の計算手順

基本的な SOM のアルゴリズムは, 以下の手順で実行される.

1. 各パラメータおよび競合層の全ニューロンの重みベクトル m_i の値を乱数で初期化する. 制御変数を設定する $t \leftarrow 0$
2. 入力ベクトル x を与える
3. x と各 m_i の距離 $\|m_i - x\|$ を評価し, 式 (1) を満たす勝者ニューロン c を探索する

$$\|m_c - x\| = \min_i \|m_i - x\| \quad (1)$$

4. 勝者ニューロン c とその近傍 N_c 内にある全ニューロンの重みベクトルを, 式 (2) を用いて更新し, 学習させる. 式 (2) の近傍関数 h_{ci} は学習率係数 $\alpha(t)$ を用いて式 (3) で定義される

$$m'_i = m_i + h_{ci}(x - m_i) \quad (2)$$

$$h_{ci} = \begin{cases} \alpha(t) & (i \leq N_c) \\ 0 & (i > N_c) \end{cases} \quad (3)$$

5. 次の入力ベクトルの処理を (2) へ戻って繰り返す. 全入力ベクトルの計算が終了した場合, $t < T$ ならば $t \leftarrow t + 1$ の後に (2) へ戻って最初の入力ベクトルから繰り返す. $t = T$ ならば計算終了

SOM の場合, 一般的に距離 $\|a - b\|$ の計算にはユークリッド距離を用いる.

プログラム全体の流れを Fig. 2 にフローチャートとして示す.

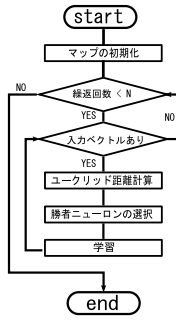


Fig.2 SOM アルゴリズムのフローチャート

3 球面 SOM のデータ構造

球面上のデータを 2 次元平面上のデータとして扱うために、測地ドームの展開図を用いる⁷⁾。測地ドームとは正多角形の 1 面を細分化することで得られる、Fig. 3 に示すような準正多面体のことである。本研究報告では元となる正多角形として、最も面数の多い正多面体である正 20 面体を採用した。測地ドームを正 20 面体の辺に沿って展開すると Fig. 3 のような格子図が得られる。この格子に対し、軸 U と軸 V を Fig. 4 に示したように定める。この 2 軸を直行するように歪ませ、軸 U' と軸 V' で表現し、各頂点が SOM マップにおいてニューロンを配置する位置と考える。また、展開図を組み立てた際に重なり合う頂点は削除する。この行程により、測地ドームを 2 次元配列上に置くことができる。

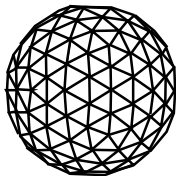


Fig.3 測地ドーム

4 実装

4.1 マップデータの構築

マップは 2 次元配列で表現され、Fig. 3 で示した測地ドームの展開図を配置する。

学習の際には隣接したデータを探索する必要がある。このとき、中心付近で隣り合っていれば容易に探索が可能だが、縁付近で離れていると探索の度に計算が発生する。SOM では近傍探索を繰り返し行うため、非常に計算コストを要する。そこで、隣接するデータのアドレスをあらかじめ格納する手法をとった。

上記の処理をはじめに行うことで、SOM アルゴリズムを走らせる際の重複した計算を削除した。

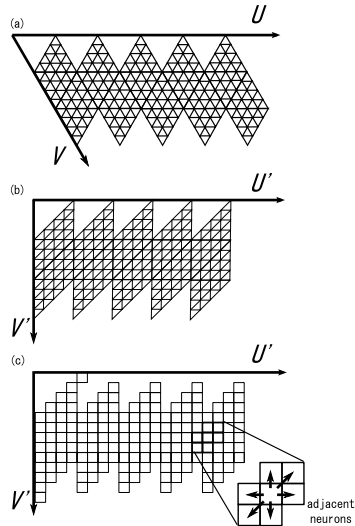


Fig.4 展開図から 2 次元配列への写像

4.2 CPU での実装

4.2.1 距離計算

重みベクトルと入力ベクトルとのユークリッド距離を求める。この処理を逐次的に実行することで、全ての重みベクトルに対して入力ベクトルとの類似度を計算する。

4.2.2 勝者選択

距離計算で得られたユークリッド距離を比較し、入力ベクトルとの差が最小となる重みベクトルを選択する。最小となる重みベクトルの位置を保管し、マップの最初から比較と保管位置の置き換えを繰り返すことで、ユークリッド距離が最小となる勝者ニューロンを選択する。

4.2.3 近傍探索

SOM アルゴリズムの学習の行程では、勝者ニューロンからの距離計算が必要となる。距離はニューロン間の移動におけるステップ数で定義する。そこで、幅優先探索による近傍探索を行った。

勝者ニューロンをルートノードとした木構造が Fig. 5 のように定義できる。Fig. 5 では、ルートとの距離が勝者ニューロンからの距離を表し、線で結ばれているノードは隣接していることを意味する。上のノードから探索が行われ、隣接するニューロンのアドレスをリストに格納することで次ノードの一覧を取得する。この行程を近傍幅の数だけ繰り返すことで、近傍を探索する。

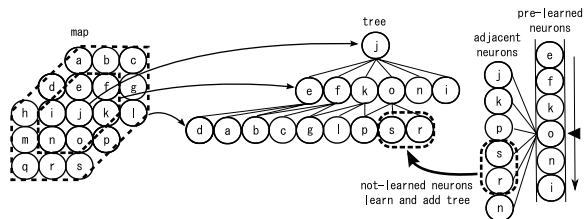


Fig.5 幅優先探索を用いた近傍探索

4.3 GPU での実装

CPU 上で動くアプリケーションを作成し、後に CUDA プログラムとして GPU で実装した。その際の方法を以下に述べる。

4.3.1 距離計算の並列化

SOM のアルゴリズムの中で最も時間を必要とするのが、入力ベクトルと重みベクトルとのユークリッド距離の計算である。しかし、この行程は重みベクトル毎に独立なため、並列化が容易に実現できる。そこで、ユークリッド距離計算を GPU で並列実装することで高速化を試みた。

GPU のグローバルメモリに重みベクトルと距離を格納する配列が確保されている。重みベクトルを CPU のメモリからコピーする。コピーした重みベクトルと送られてきた入力ベクトルのユークリッド距離計算を行い、結果をグローバルメモリに確保していく。最後に計算結果の一覧を CPU のメモリにコピーし、GPU の計算を終了する。

4.3.2 勝者選択の並列化

勝者選択は、先に計算したユークリッド距離の最小値探索である。CPU と同様の選択方式を用いると、 $O(N)$ の計算量が必要となり、並列化が不可能である。そこで、二分木を用いたトーナメント型の選択方式を実装する。計算量は逐次型と同じであるが、並列化が可能のため最大 $O(\log(N))$ の計算時間での実装が可能となる。

4.3.3 近傍探索・学習の並列化

前節で述べたが、近傍探索には幅優先探索を用いている。近傍探索の際には、事前に用意した学習済みニューロンのリストから隣接しているニューロンのリストを作成し、学習を行っている。学習は重みベクトル毎に独立なため、学習済みリストの全ての隣接ニューロンの学習を並列化することが可能である。

5 実験

5.1 概要

GPU 上で球面 SOM を動作させ、その性能を評価する。GPU には、GeForce8400GS, GeForce GTX280, Tesla C1060 の 3 種を用いる。それぞれの GPU の性能を表 1 に示す。さらに CPU とも比較を行う。比較する CPU は Opteron 1210 HE である。

SOM の設定は、ニューロンを 5 次元、重みベクトルの数を $50000(20 \times 50^2)$ 個、近傍幅を $[0, 9]$ とした。

5.2 結果

それぞれの GPU および CPU の実行時間を表 2 に示す。さらに、球面 SOM の処理手順である、SOM マップの初期化、ユークリッド距離の計算、勝者ニューロンの選択、学習のそれぞれにおける処理時間を Fig. 6 に、処理時間の配分を Fig. 7 示す。

表 2 から、CPU と比較して GPU は処理速度が向上していることが分かる。

Table2 実行時間

	実行時間 (ms)	CPU との速度比
CPU	75170	1.00
8400GS	29340	2.56
GTX280	5320	14.13
C1060	5250	14.31

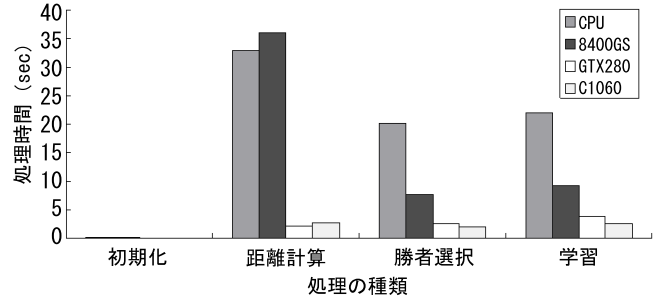


Fig. 6 GPU ごとの実行時間

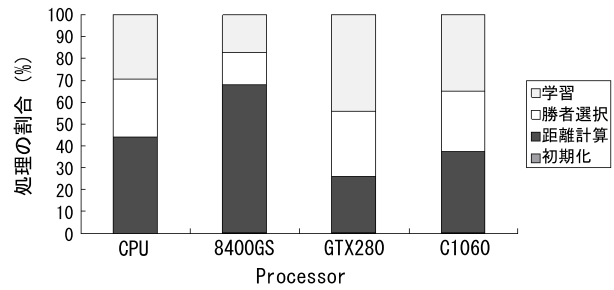


Fig. 7 処理内容ごとの実行時間比

6 考察

6.1 メモリ帯域の影響

Fig. 6 から、全体の処理時間における距離計算の割合については、8400GS の値が大きいことがわかる。この理由は入力ニューロンの受け渡し方法に原因があると考えられる。本実装では学習を行う際に、対象となる入力ニューロンを引数として GPU 関数に渡している。そのため、全体として「試行回数 × 入力ニューロン数」のデータ送信となるため、メモリ帯域が他の GPU と比べて低い 8400GS は距離計算に時間を要したのだと考えられる。

6.2 近傍探索の課題

Fig. 7 より、CPU では距離計算が最も時間を要するが、GTX280, C1016 では学習時間が最も時間を要することがわかる。

本実装では近傍探索に幅優先探索を用いているため、同距離の全ニューロンを探索する前に、次の距離にあるニューロンの探索を行うことはできない。そのため、近傍全体を並列して学習することができないと考えられる。

そこで、学習を並列化する手法を提案する。Fig. 4 に示すように、今回用いたデータ構造は正 20 面体の展開

Table1 GPU の性能

名称	SP 数 (個)	コアクロック (GHz)	メモリクロック (GHz)	メモリサイズ (MB)	メモリアインターフェイス (bit)	メモリ帯域 (GB/秒)
8400GS	16	0.45	0.4	256	64	6.4
GTX280	240	1.27	1.1	1024	512	141.7
C1060	240	1.30	0.8	4096	512	102.0

図を模している。今までの手法では、幅優先探索を導入することで、スリットの部分の近傍探索を円滑に行っていた。しかし、スリットの影響を受けない位置での学習は、近傍領域と勝者ニューロンからの距離を判別できる。マップ上において、幅優先探索が必要となる領域と必要とならない領域の日はを調べた所、約 1:2 であった。このことから、近傍探索を条件に加えることで実行時間の削減が可能であると考えられる。

次に、近傍探索と学習の分離する手法を提案する。近傍探索が配列のインデックスを処理対象としていることに対し、学習はニューロンの次元数だけのパラメータを処理対象としているため、学習の実行時間は近傍探索に比べ十分大きいと考えられる。そのため、近傍探索の手法が学習の並列化におけるボトルネックとなっていることが考えられる。そこで、先に近傍探索だけを行い、マップに勝者ニューロンからの距離を記録することで、後から近傍の全ニューロンの学習を並列して行うことができると考えられる。

これらの手法の実装と評価は今後の課題である。

6.3 ニューロン処理の並列化

本実装ではマップに対する処理の並列化を行った。しかし、ニューロンの次元が大きな場合は、ニューロン処理の並列化も考慮に行うことで、さらなる並列化が行えると考えられる。今回の球面 SOM におけるニューロンとは、単精度浮動小数点によるベクトルである。そのため、容易に GPU における並列化が可能である。

この手法の実装と評価は今後の課題である。

7 まとめ

本研究報告では、GPU による球面 SOM の実装と評価を行った。CPU では Opteron 1210 HE, GPU では GeForce8400GS, GeForce GTX280, Tesla C1060 を用いて比較することで、実行時間の短縮に成功していることを示した。さらに、結果から分かった課題を明確にし、その解決法を提案した。球面 SOM の GPU 実装には課題が多く、これからの更なる速度向上が期待できる。

参考文献

- 1) T. Kohonen 自己組織化マップ シュブリンガー・フェアラーク東京 (1996)
- 2) G. Carpenter, S. Grossberg A massively parallel architecture for a self-organizing neural pattern recognition machine *Computer Vision, Graphics, and Image Processing, Vol. 37, No. 1, pp.*

54-115 (1987)

- 3) H. Speckmann, P. Thole, W. Rosentiel, I. Aleksander, J. Taylor **Hardware Implementations of Kohonen's Self-Organizing Feature Map Artificial Neural Networks, 2, Vol. 2, pp. 1451-1454** (1992)
- 4) M. Parrmann, M. Franzmeier, H. Kalte, U. Witkowski, U. Ruckert **A Reconfigurable SOM Hardware Accelerator** *Proceedings of the 10th European Symposium on Artificial Neural Networks, ESANN, pp. 337-342* (2002)
- 5) H. Tamukoh, T. Aso, K. Horio, T. Yamakawa **Self-organizing map hardware accelerator system and its application to realtime image enlargement** *Neural Networks, 2004. Proceedings. 2004 IEEE International Joint Conference on, Vol. 4* (2004)
- 6) R. D. Prabhu **SOMGPU: An Unsupervised Pattern Classifier in Graphical Processing Unit** *IEEE Congress on Evolutionary Computation, pp. 1011-1018* (2008)
- 7) 高塚 正浩, Ying Xin WU 球面 SOM のデータ構造と量子化誤差の考察 およびインタラクティブ性の向上 知能と情報 (日本知能情報ファジィ学会誌) *Vol. 19, No 6, pp. 611-617* (2007)
- 8) 徳高 平蔵, 岸田 悟, 藤村 喜久郎 自己組織化マップの応用 多次元情報の 2 次元可視化 海文堂 (1999)
- 9) 設樂明宏, 西川由理, 吉見真聡, 天野英晴 **グラフィックプロセッサを用いた自己組織化マップの実装と評価** *IPSJ SIG Notes pp.31-36* (2009)